

# Instituto de Física - USP

## FGE0213 - Laboratório de Física III - LabFlex

### Aula 10 - (Exp 2.6) - Filtro de Wien

#### Juntando as partes

Manfredo H. Tabacniks  
Alexandre Suaide  
outubro 2007

Atenção.  
A notação algébrica neste texto foi revista para manter a coerência nas deduções. Podem haver diferenças em relação aos textos anteriores.

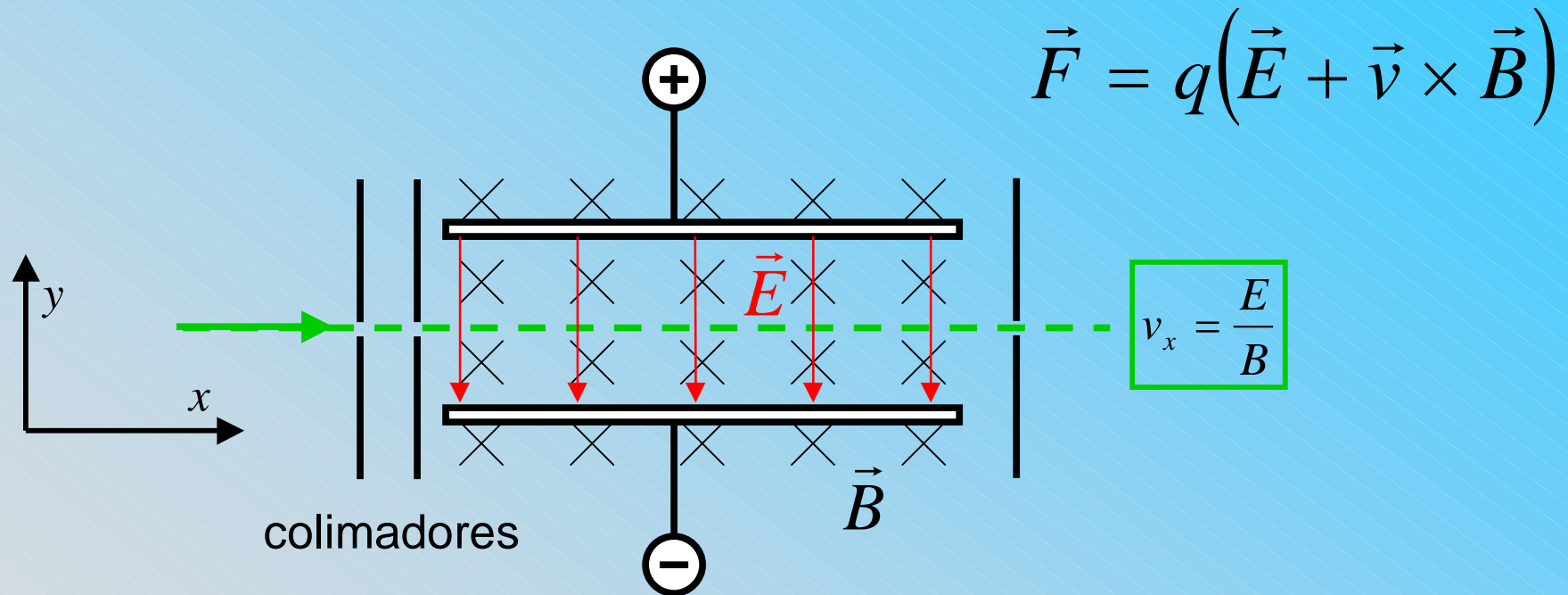
# Filtro de Wien

## Resumo do experimento

- Aula 2.1 - Enteder o campo elétrico. Medir o campo elétrico gerado e comparar com previsões teóricas. Quão próximo está o experimento de uma situação de campo ideal (uniforme)
- Aula 2.2 - Entender a geração das partículas (elétrons) e como elas se movimentam no campo elétrico estudado na aula anterior.
- Aula 2.3 - Modelo do tubo de raios Catódicos. Medida do campo de fluxo magnético local
- Aula 2.4 - Fluxo magnético entre duas bobinas coaxiais.
- Aula 2.5 - Fluxo magnético efetivo entre duas bobinas coaxiais.
- Aula 2.6 - Movimento das partículas no campo EM. Resolução do filtro de Wien
- Aulas 2.7 - Aplicações. Relatório.

## Objetivos

Estudar e modelar um filtro de velocidades  $\vec{E} \times \vec{B}$  (Filtro de Wien)



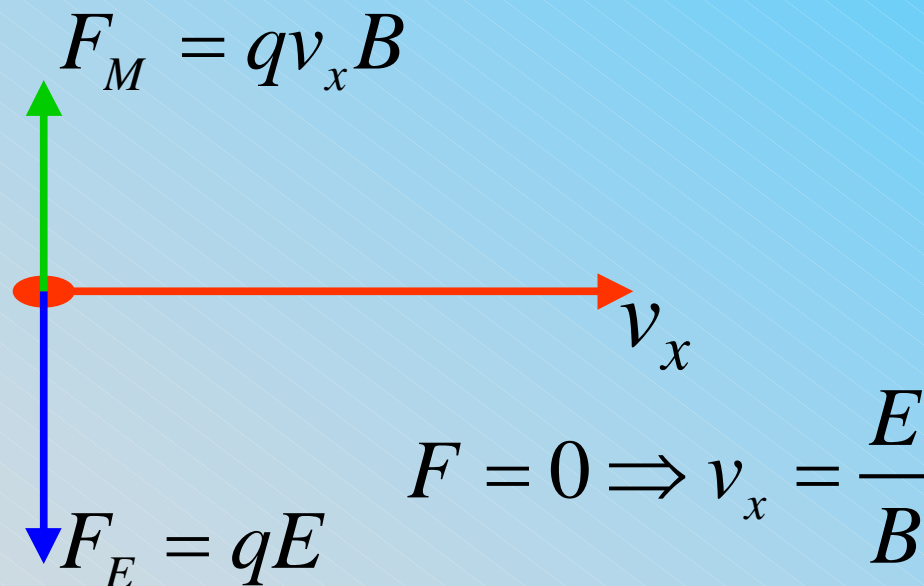
- Modelar o campo elétrico entre 2 placas de um osciloscópio
- Modelar o fluxo magnético gerado por duas bobinas externas
- Construir e calibrar um seletor de velocidades

## Movimento de uma partícula em um seletor de velocidades

Força resultante

$$F_y = q(v_x B - E)$$

Partícula não sofre desvio se



$F_M = qv_x B$

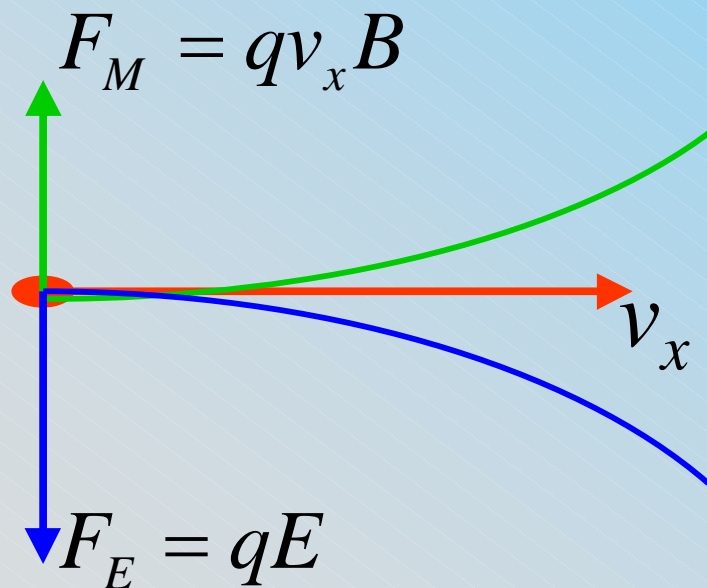
$F_E = qE$

$F = 0 \Rightarrow v_x = \frac{E}{B}$

# Movimento de uma partícula em um seletor de velocidades

Condição para não desviar

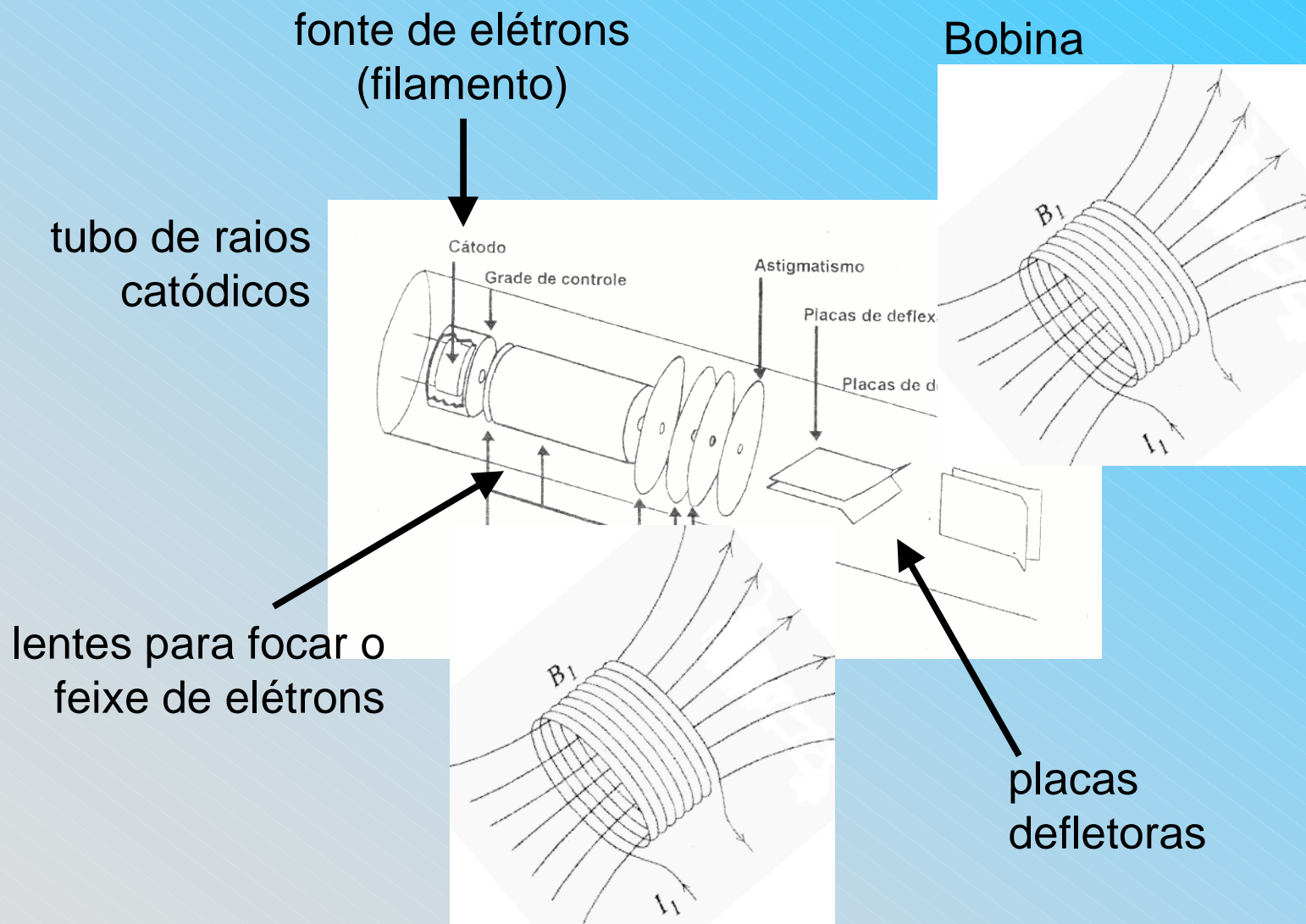
$$F = 0 \Rightarrow v_x = \frac{E}{B}$$



Desvio //(-E) se  $v_x > \frac{E}{B}$

Desvio //E se  $v_x < \frac{E}{B}$

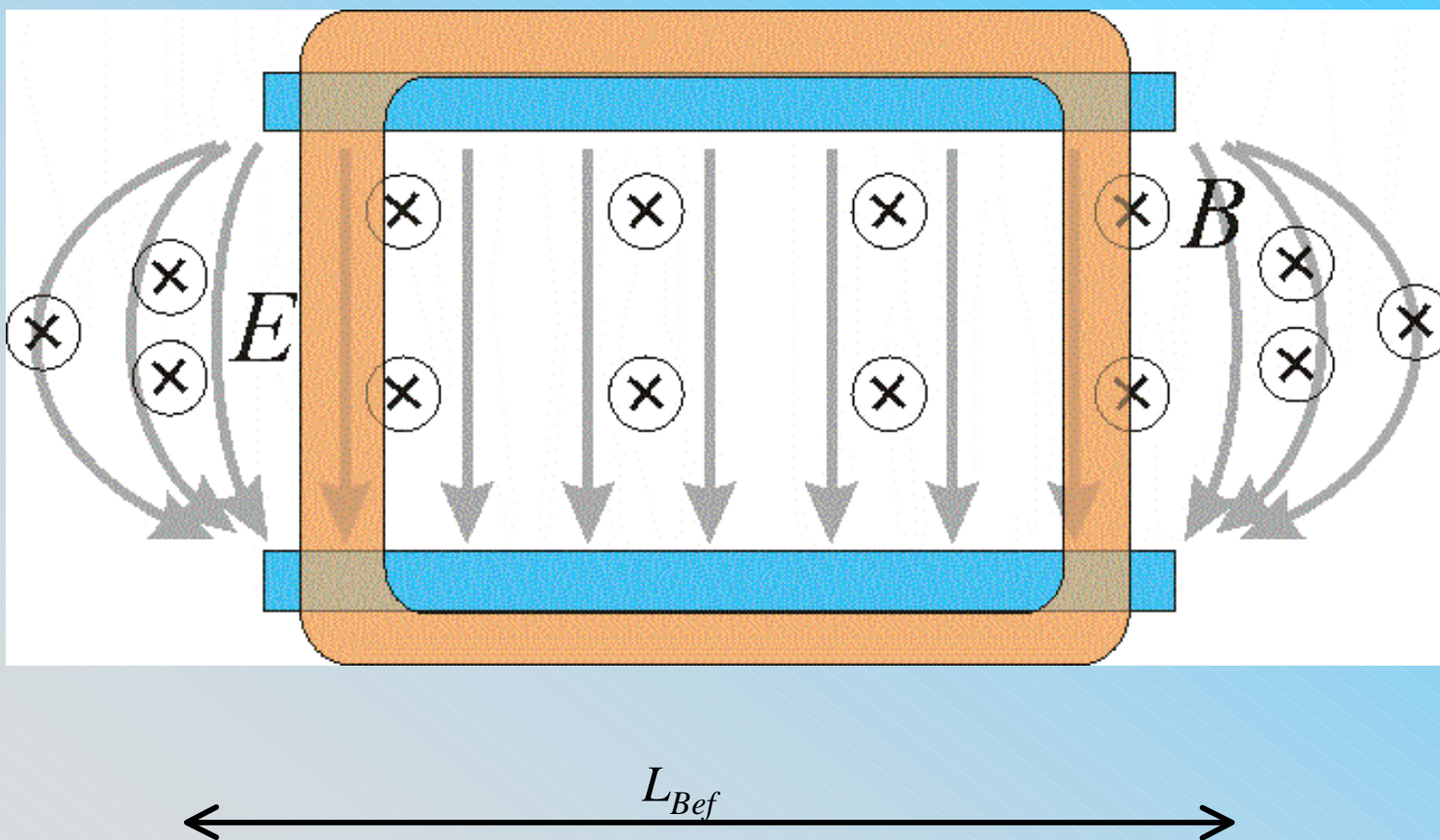
# Seletor de velocidades usando um tubo de raios catódicos



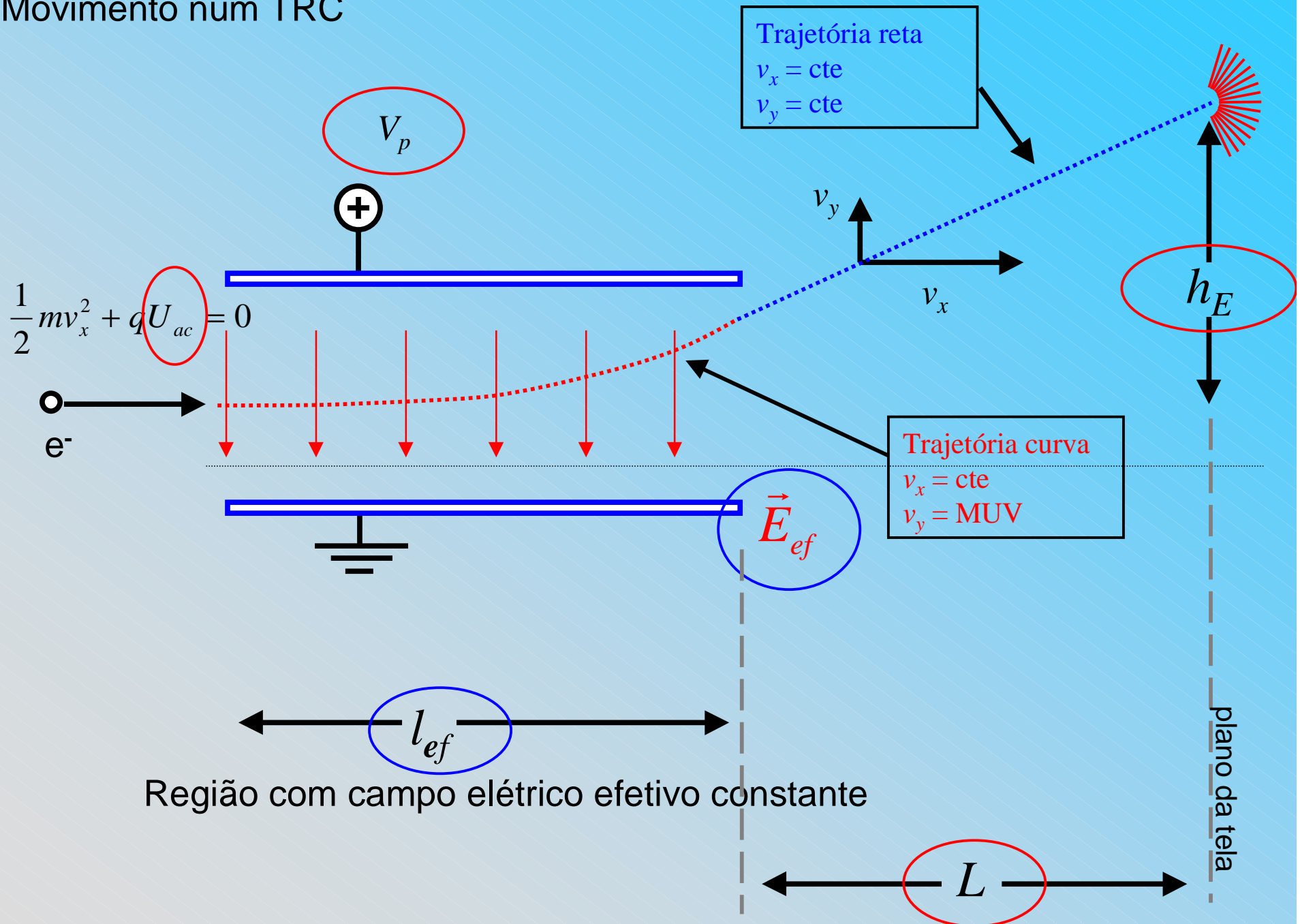
## Seletor de velocidades usando um tubo de raios catódicos

Campos excedem a região das placas e das bobinas:

→ *comprimento efetivo*

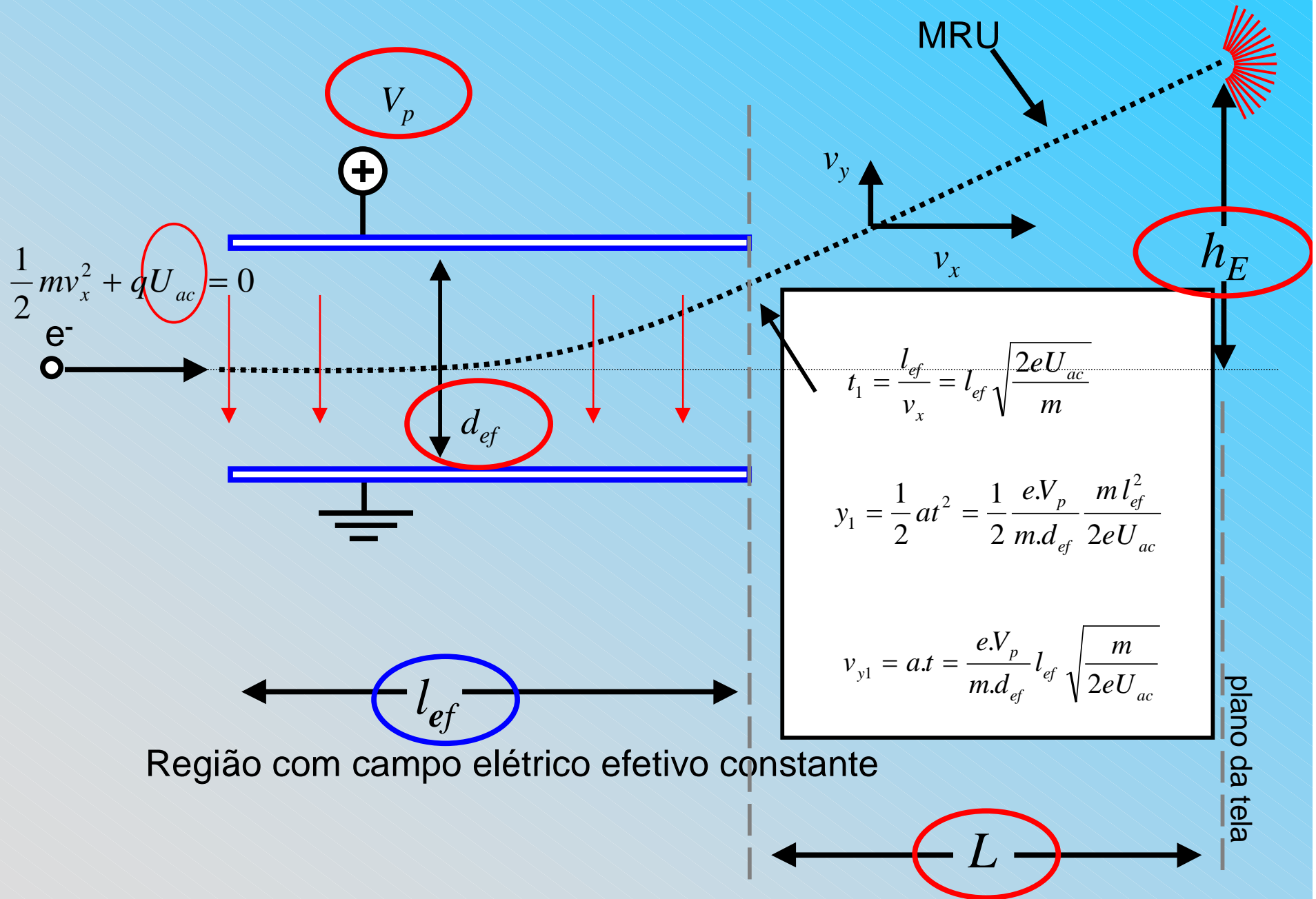


# Movimento num TRC





# Movimento num TRC

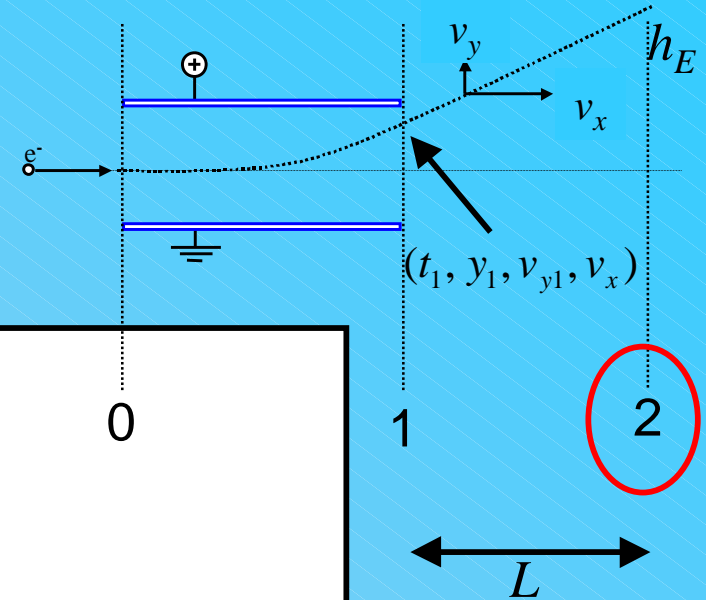


Da placa à tela temos um movimento uniforme

$$y_1 = \frac{1}{2} \frac{l_{ef}^2}{d_{ef}} \frac{V_p}{2U_{ac}}$$

$$v_{y1} = \sqrt{\frac{e}{m} \frac{l_{ef}}{d_{ef}} \frac{V_p}{\sqrt{2U_{ac}}}}$$

$$v_x = \sqrt{\frac{2eU_{ac}}{m}}$$



$$h_E = y_2 = y_1 + v_{y1} \cdot t_{1,2}$$

$$t_{1,2} = \frac{L}{v_x} = L \sqrt{\frac{m}{2eU_{ac}}}$$

$$h_E = \frac{1}{2} \frac{l_{ef}^2}{d_{ef}} \frac{V_p}{2U_{ac}} + \frac{eV_p}{md_{ef}} l_{ef} \sqrt{\frac{m}{2eU_{ac}}} \cdot L \sqrt{\frac{m}{2eU_{ac}}}$$

$$h_E = \frac{l_{ef}}{2d_{ef}} \frac{V_p}{U_{ac}} \left( \frac{l_{ef}}{2} + L \right)$$

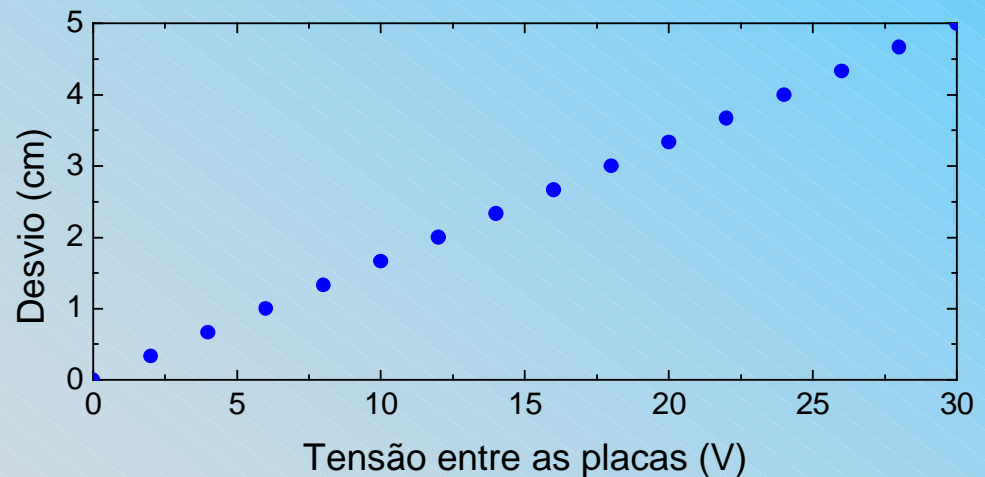
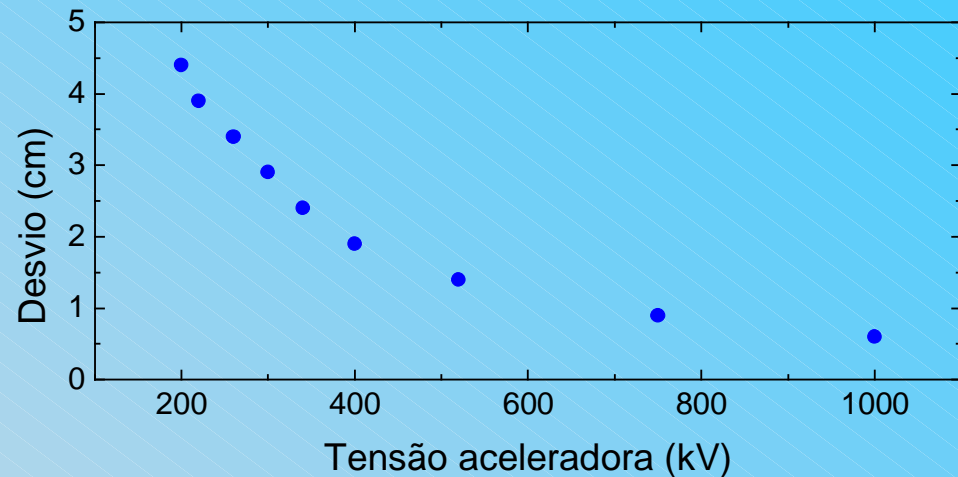
Função de  $l_{ef}$  e  $d_{ef}$

# Estudo do campo elétrico

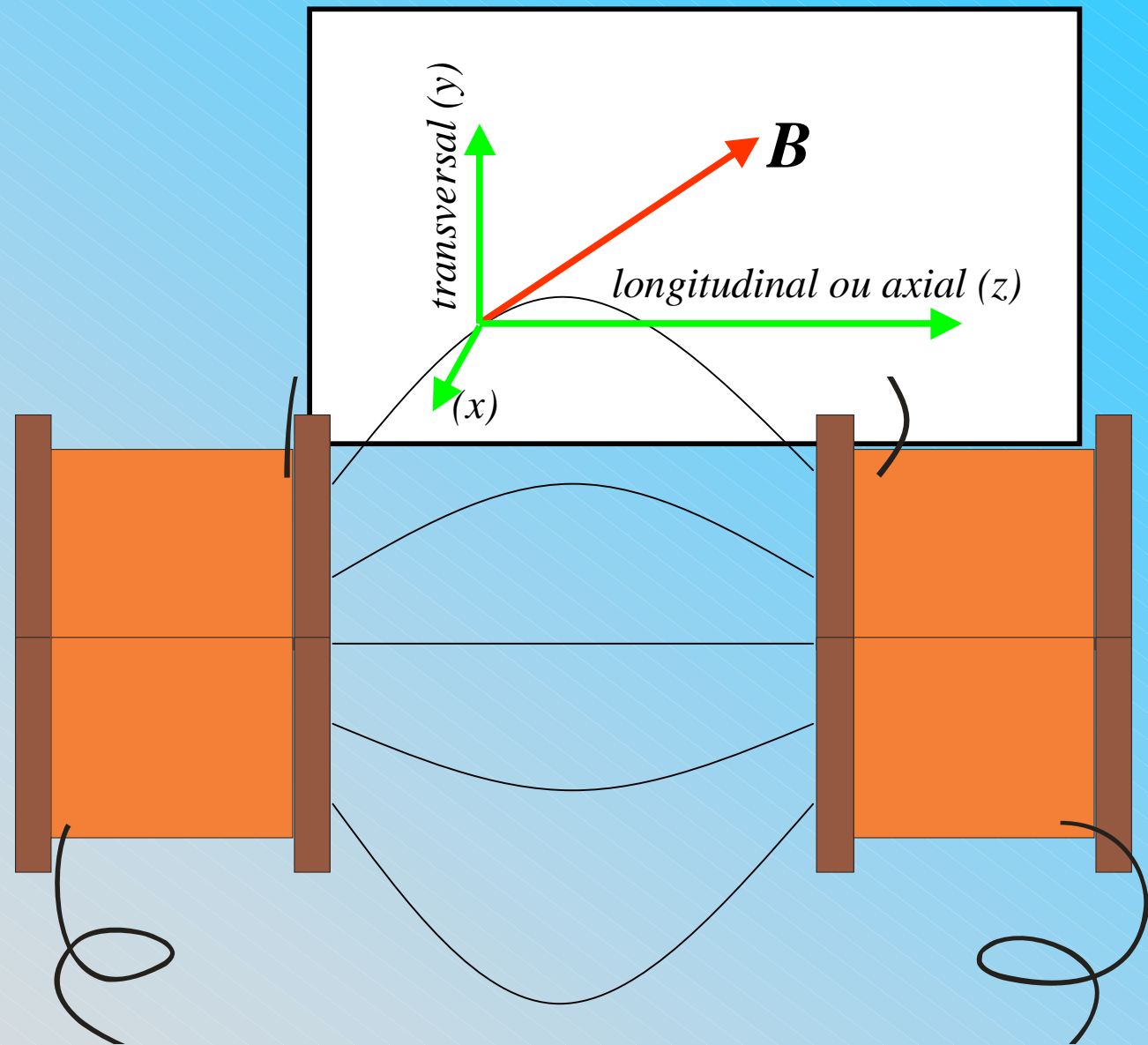
Medidas experimentais indicaram que, dentro da precisão experimental, podemos aproximar o campo para uma configuração ideal

$$h_E = \frac{l_{ef}}{2d_{ef}} \frac{V_p}{U_{ac}} \left( \frac{l_{ef}}{2} + L \right)$$

Obtivemos o tamanho e a distância efetiva das placas



## Campo axial e transversal e o sistema de referência



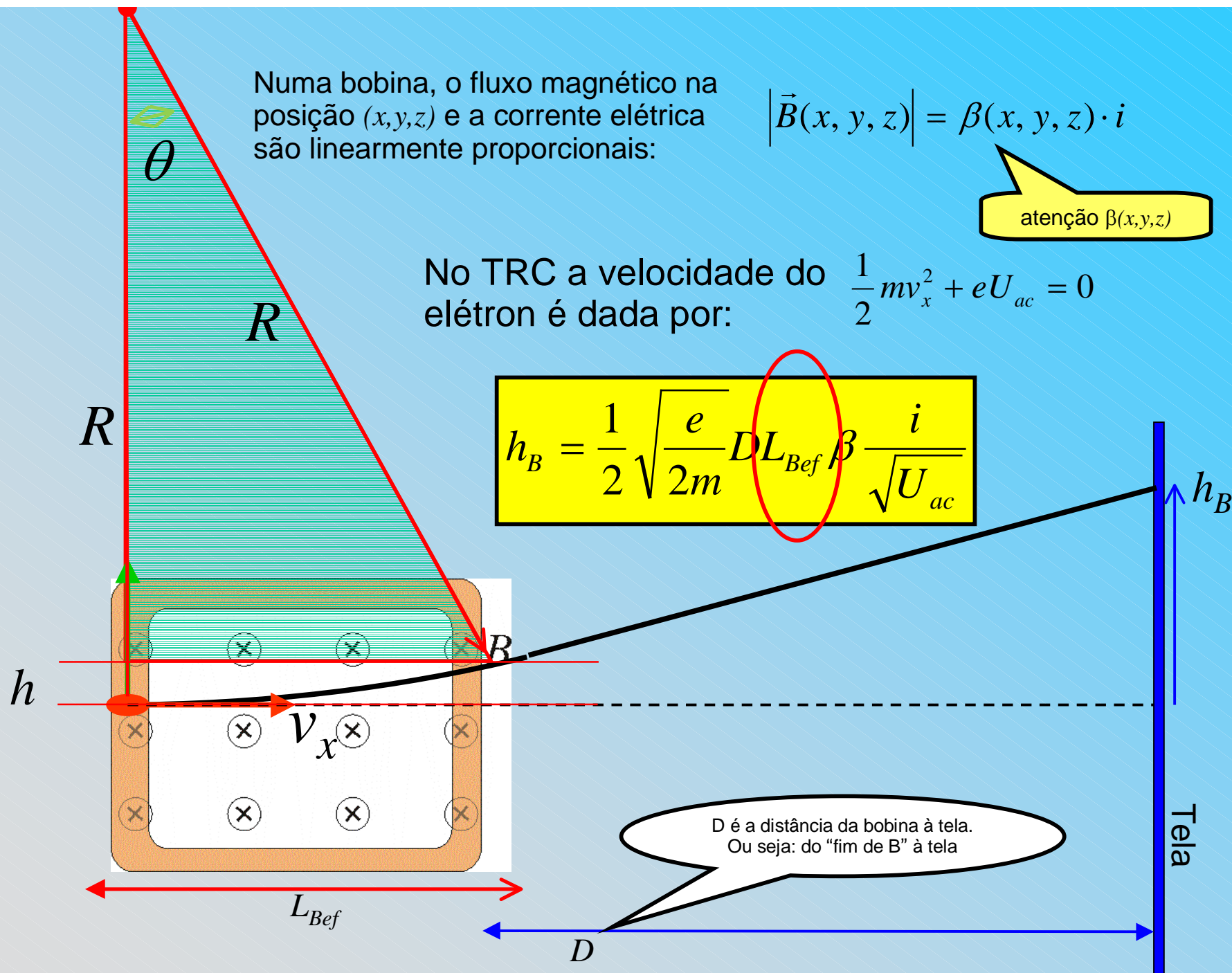
Numa bobina, o fluxo magnético na posição  $(x,y,z)$  e a corrente elétrica são linearmente proporcionais:

$$|\vec{B}(x, y, z)| = \beta(x, y, z) \cdot i$$

atenção  $\beta(x,y,z)$

No TRC a velocidade do elétron é dada por:  $\frac{1}{2}mv_x^2 + eU_{ac} = 0$

$$h_B = \frac{1}{2} \sqrt{\frac{e}{2m}} D L_{Bef} \beta \frac{i}{\sqrt{U_{ac}}}$$



$D$  é a distância da bobina à tela.  
Ou seja: do "fim de B" à tela

Desvio no campo elétrico fornece  $d_{ef}$  e  $l_{ef}$

$$h_E = \frac{l_{ef}}{2d_{ef}} \frac{V_p}{U_{ac}} \left( \frac{l_{ef}}{2} + L \right)$$

cuidado com a  
definição dos  
parâmetros,  
especialmente  $D$ ,  $L$  e  $\beta$

Desvio no campo de fluxo magnético fornece  $\beta$  e  $L_{Bef}$

$$h_B = \frac{1}{2} \sqrt{\frac{e}{2m}} DL_{Bef} \beta \frac{i}{\sqrt{U_{ac}}}$$

Sabemos modelar o filtro de Wien dados:  $U_{ac}$ ,  $V_p$ ,  $i$

$$v_x = \frac{|E|}{|B|}$$

$$\sqrt{\frac{2eU_{ac}}{m}} = \frac{V_p}{d_{ef}} \frac{1}{\beta \cdot i}$$

## Um pouco de álgebra

Fazendo  $h_E = h_B$

$$\left\{ \begin{array}{l} h_E = \frac{l_{ef}}{2d_{ef}} \frac{V_p}{U_{ac}} \left( \frac{l_{ef}}{2} + L \right) \\ h_B = \frac{1}{2} \sqrt{\frac{e}{2m}} DL_{Bef} \beta \frac{i}{\sqrt{U_{ac}}} \end{array} \right.$$

$$\frac{l_{ef}}{2d_{ef}} \frac{V_p}{U_{ac}} \left( \frac{l_{ef}}{2} + L \right) = \frac{1}{2} \sqrt{\frac{e}{2m}} DL_{Bef} \beta \frac{i}{\sqrt{U_{ac}}}$$

e lembrando que:

$$E = \frac{V_p}{d_{ef}}$$

$$B = \beta i$$

$$v_x = \sqrt{\frac{2eU_{ac}}{m}}$$

$$v_x = \frac{E}{B}$$

$$l_{ef} E (l_{ef} + 2L) = \sqrt{\frac{2U_{ac} e}{m}} DL_{Bef} B$$

$$l_{ef} \cancel{v_x} (l_{ef} + 2L) = \cancel{v_x} DL_{Bef}$$

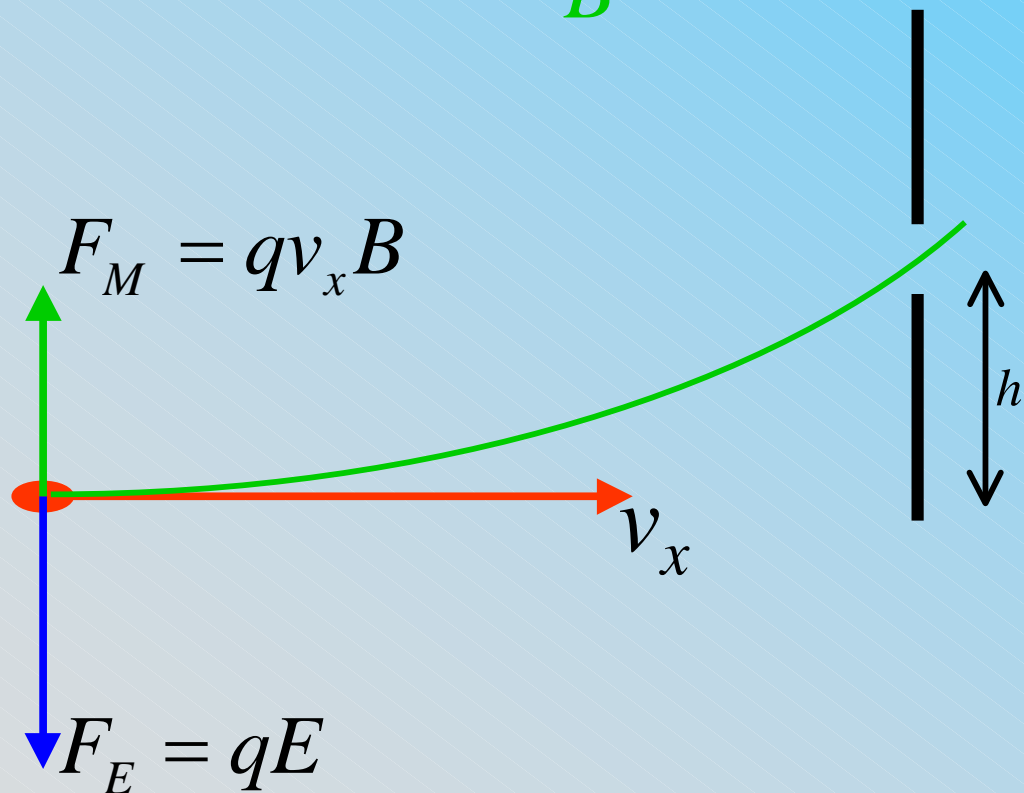
$$k = \frac{l_{ef} (l_{ef} + 2L)}{DL_{Bef}} = 1$$

Essa é uma forma de testar  
nosso modelo.

Com os valores de  $l_{ef}$ ,  $L$ ,  $D$  e  
 $L_{Bef}$  calcula-se  $k$ , a ser  
comparado com 1.

# O filtro de Wien como um espectrômetro de massas

Desvio //(-E) se  $v_x > \frac{E}{B}$



O filtro de Wien pode ser usado como um espectrômetro de massas:

Acrescentando um par de fendas e resolvendo o modelo para um dado “ $h$ ”

Para um dado “ $h$ ” e  $U_{ac}$ , há infinitos  $V_p$  e  $i$

Desde que a razão  $V_p/i = cte$



## O filtro de Wien como um espectrômetro de massas

$$v_x = \frac{|E|}{|B|} \quad \text{fornece...} \quad \sqrt{\frac{2eU_{ac}}{m}} = \frac{V_p}{d_{ef}} \frac{1}{\beta \cdot i}$$

$$h \neq 0 \quad \text{fornece outra relação ..} \quad v_x = \alpha \frac{V_p}{i}$$

Resolução de um espectrômetro é a capacidade de discriminar sinais próximos

Para um dado  $h$ , portanto  $V_p / i$ , qual o  $U_{ac}$  que maximiza a sensibilidade do espectrômetro?

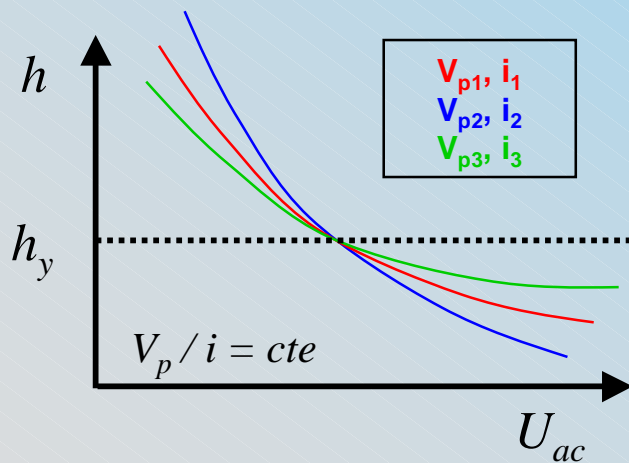
Para um dado  $h$ , portanto  $V_p/i$ , qual o  $U_{ac}$  que maximiza a sensibilidade do espectrômetro?

$$h = 0$$

$$\sqrt{\frac{2eU_{ac}}{m}} = \frac{V_p}{d_{ef}} \frac{1}{\beta i}$$

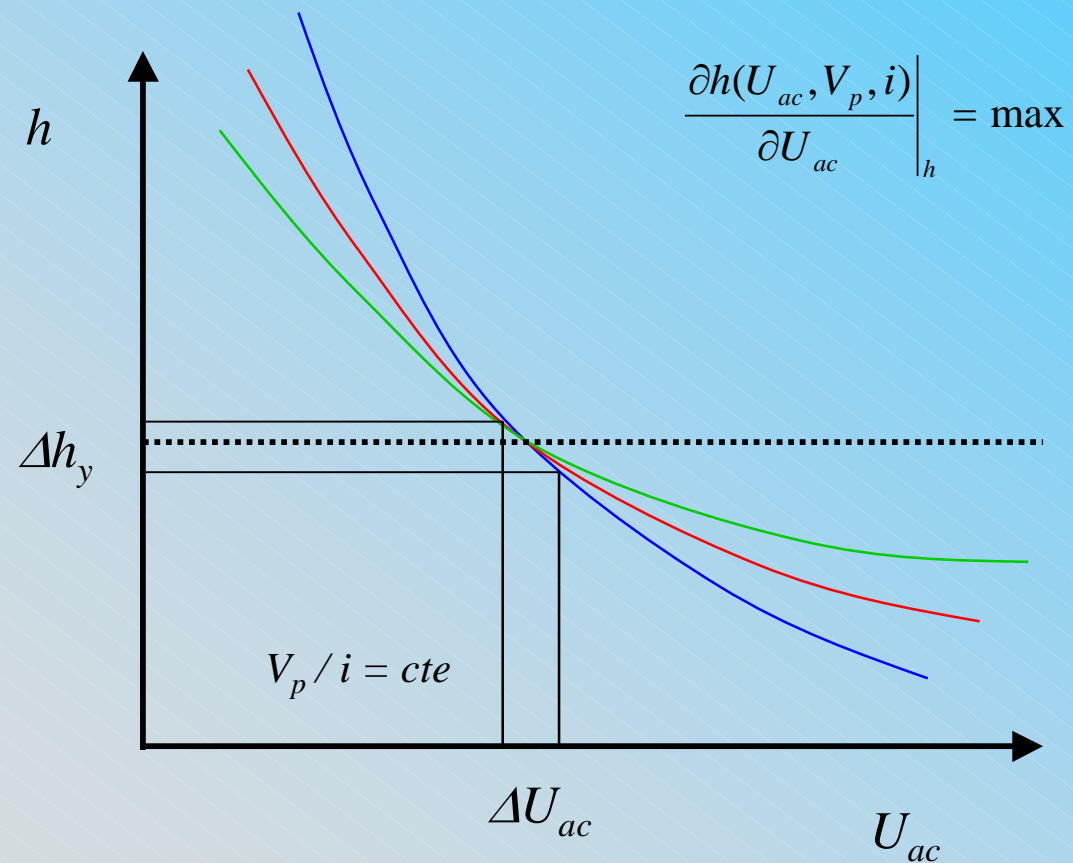
$$h \neq 0$$

$$v_x = \alpha \frac{V_p}{i}$$



$$\left. \frac{\partial h(U_{ac}, V_p, i)}{\partial U_{ac}} \right|_h = \max$$

Para um dado  $h$ , portanto  $V_p / i$ , qual o  $V_{ac}$  que maximiza a sensibilidade do espectrômetro?



## Tarefas da semana

- Determinar a fórmula do seu filtro de Wien
- Testar seu filtro de Wien em várias condições  $U_{ac}$ ,  $V_p$ ,  $i$ . Testar seu modelo. Verifique se a razão “k” = 1.
- Estudar  $h \times U_{ac}$  para três  $V_p$  diferentes:
  - a) Fixar uma razão  $V_p / i$ . (Exemplo: Usar o valor que fornece  $h=0$  para  $U_{ac} = 600$  V)
  - b) Graficar  $h$  em função de  $U_{ac}$ , variando  $U_{ac}$  em torno do valor escolhido, (Exemplo, de 300 a 900 V) mantendo fixos  $V_p$  e  $i$ .
  - c) Repetir (b) para um novo par  $V_p$  e  $i$ , com a condição de não alterar  $V_p / i$ . (Note que apesar de  $V_p / i = \text{cte}$ , as curvas não coincidem).
  - d) Sobrepor as três curvas no mesmo sistema de eixos. Note que as curvas se cruzam em  $(h, U_{ac})$  escolhidos no item (a).
- Determinar a condição de resolução máxima. Quais seriam os possíveis limites para se construir um espectrômetro “ótimo”?